

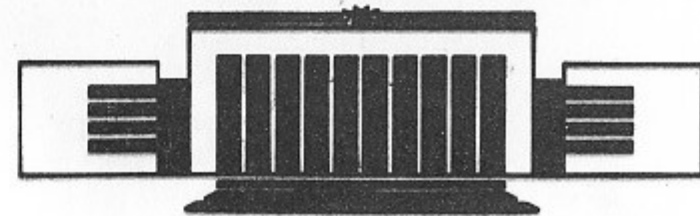


ИНСТИТУТ ЯДЕРНОЙ ФИЗИКИ
им. Г.И. Будкера СО РАН

Н.С. Бучельникова, Б.Н. Лазеев

КОНВЕРСИЯ ВОЛНЫ
БЕРНШТЕЙНА-ГРИНА-КРУСКАЛА НА
ВОЗМУЩЕНИИ ПЛОТНОСТИ. II

ИЯФ 94-49



НОВОСИБИРСК

Конверсия волны Бернштейна–Грина–Крускала на возмущении плотности. II

Н.С. Бучельникова, Б.Н. Лазеев

Институт ядерной физики,
630090 Новосибирск, Россия

Аннотация

Проведены численные эксперименты (метод частиц в ячейках) по исследованию взаимодействия волны БГК ($\lambda_e/r_d = 200$; $N_e = L/\lambda_e = 1$) с синусоидальным возмущением плотности ($N_i = \lambda_e/\lambda_i = 2$; $\tilde{n}/n_0 \sim 0,04 - 0,3$) в одномерной плазме с неподвижными ионами.

Показано, что это взаимодействие приводит к конверсии в прямые и обратные ленгмюровские волны–гармоники волны БГК с номерами $N = N_e \pm \beta N_i$, $\beta = 1, 2, 3 \dots$. Развитие конверсии практически не отличается от случаев с теми же \tilde{n}/n_0 , но другими λ_i и $\lambda_e/\lambda_i = 3$ [1]. Захваченные в волну БГК электроны стабилизируют волну и препятствуют конверсии.

Рассмотрено долговременное развитие волны БГК в течение $\sim 100T_{oe}$. Найдено, что при малых возмущениях плотности $\tilde{n}/n_0 \sim 0,04$, волна имеет квазистационарный характер, а амплитуда гармоник конверсии устанавливается на малом уровне. При $\tilde{n}/n_0 \sim 0,3$ начальная стадия конверсии сопровождается перестройкой распределения захваченных в волну БГК электронов из-за уменьшения фазовой скорости. После перестройки устанавливается волна БГК с новыми параметрами, имеющая квазистационарный характер. Взаимодействие волны БГК с гармониками конверсии приводит к стохастической неустойчивости движения электронов в районе сепараторы, но не меняет квазистационарного характера волны.

The Conversion of the Bernstein-Greene-Kruskal Wave on the Density Perturbation. II

N.S. Buchelnikova, B.N. Laseev

Institute of Nuclear Physics,
630090 Novosibirsk, Russia

Abstract

The interaction of the BGK-wave ($\lambda_e/r_d = 200$; $N_e = \mathcal{L}/\lambda_e = 1$) with sinusoidal density perturbation ($N_i = \lambda_e/\lambda_i = 2$; $\tilde{n}/n_0 \sim 0,04 - 0,3$) in the one-dimensional plasma with fixed ions was studied in numerical experiments (PIC-method).

It was shown, that this interaction leads to the conversion into direct and backward Langmuir waves with the wave numbers $N = N_e \pm \beta N_i$, $\beta = 1, 2, 3 \dots$. The evolution of the conversion does not differ practically from the cases with the same \tilde{n}/n_0 , but another λ_i and $\lambda_e/\lambda_i = 3$ [1]. In all the cases the electrons trapped in the BGK-wave stabilize the wave and prevent the conversion.

The longtime ($\sim 100T_{oe}$) evolution of the BGK-wave was studied. In the case of small density perturbation $\tilde{n}/n_0 \sim 0,04$ the BGK-wave is practically stable and the amplitudes of the conversion modes are low. In the case $\tilde{n}/n_0 \sim 0,3$ the initial stage of the conversion evolution is accompanied by the modification of the trapped electrons distribution, due to the decrease of the phase velocity of the BGK-wave. The selfconsistent process leads to the formation of the BGK-wave with the new parameters, which is practically stable during the long time.

The interaction of the BGK-wave with the conversion modes leads to the stochastic instability of the electron motion in the region near to the separatrix of the BGK-wave, but does not change the quasistationary character of the wave.

В настоящей работе описаны численные эксперименты (метод частиц в ячейках) по исследованию взаимодействия волны Бернштейна-Грина-Крускала (БГК) с синусоидальным возмущением плотности в одномерной плазме с неподвижными ионами. Рассматривается волна БГК, область захвата которой равномерно заполнена электронами. Работа является второй частью работы [1] и продолжением работ [2, 3]. В работе [1] исследовалась конверсия волны БГК ($\lambda_e/r_d = 200$; $N_e = \mathcal{L}/\lambda_e = 1$) на возмущении плотности с параметрами $N_i = \lambda_e/\lambda_i = 3$; $\tilde{n}/n_0 \sim 0,01 - 0,9$; В настоящей работе исследуется случай с теми же параметрами волны БГК, но другими параметрами возмущения плотности — $N_i = 2$; $\tilde{n}/n_0 \sim 0,04 - 0,3$.

Найдено, что развитие конверсии в этом случае практически не отличается от случая, рассмотренного в работе [1]. Конверсия волны БГК приводит к модуляции ее поля и локализации энергии во впадинах плотности, а в спектральном описании — к генерации прямых и обратных ленгмюровских волн — гармоник волны БГК с номерами $N = N_e \pm \beta N_i$, $\beta = 1, 2, 3 \dots$. При малых возмущениях плотности $\tilde{n}/n_0 \lesssim 0,1$ модуляция волны БГК и максимальные амплитуды гармоник конверсии много меньше, чем при конверсии ленгмюровской волны [4–6]. При больших $\tilde{n}/n_0 \gtrsim 0,3$ начальная стадия конверсии сравнима с конверсией ленгмюровской волны, но изменение амплитуды волны БГК много меньше, чем у ленгмюровской волны. Дальнейшее развитие связано с вторичными нелинейными эффектами, обусловленными уменьшением фазовой скорости волны БГК и перестройкой распределения захваченных электронов.

В настоящей работе изучено развитие волны БГК в течение длитель-

ного времени $\sim 100T_{oe}$. Показано, что при малых возмущениях плотности волна БГК остается квазистационарной как и в случае однородной плазмы. Гармоники конверсии периодически обмениваются энергией друг с другом и также остаются на стационарном уровне. При возмущениях плотности $\tilde{n}/n_0 \lesssim 0,3$ перестройка распределения $n_b(x, v)$ захваченных электронов приводит к установлению волны БГК с новыми параметрами. В дальнейшем эта волна остается квазистационарной. Взаимодействие волны БГК с гармониками конверсии приводит к стохастической неустойчивости движения электронов и развитию стохастического слоя в районе сепаратрисы волны БГК.

Численный эксперимент выполняется методом частиц в ячейках. В одномерной системе длиной $L/r_d = 200$ задается плазма с параметрами $M/m = 10^{10}$; $T_e/T_i = 30$. Задается волна БГК с областью захвата, равномерно заполненной “взвешенными” b -электронами с массой m/α , зарядом e/α , но тем же e/m , что у электрона. Метод задания волны БГК описан в работе [2] и частично в работе [1]. Рассматривается волна БГК с параметрами случая 1 из работ [2, 3]:

$\lambda_e/r_d = 200$; $N_e = 1$; $V_{\phi,o}/V_T = 27,9$; $E_0/(mr_d/eT_{oe}^2) = 13,6$; $V_{zo}/V_T = 6,6$ ($V_{zo} = 2\sqrt{\frac{e\varphi_0}{m}}$); $W_E^0/W_e^0 = 7,0 \cdot 10^{-2}$; $\Delta W_e^0/W_e^0 = 9,2 \cdot 10^{-2}$ ($\Delta W_e = W_e - W_e^0$; W_e^0 — тепловая энергия электронов плазмы); число захваченных электронов $N_b^0 = 50$; число b -электронов $N_b = 1,35 \cdot 10^4$; $\alpha = 270$; энергия b -электронов $W_b^0/W_e^0 = 4,58$; период захваченных частиц $T_B/T_{oe} = 9,6$.

Задается квазинейтральное возмущение плотности с $N_i = 2$; $\lambda_i/r_d = 100$; впадины плотности находятся на $x/r_d = 50, 150$. Амплитуда возмущения различна в разных случаях:

Случай	2-1	2-2	2-3
\tilde{n}/n_0	0,04	0,1	0,3

При взаимодействии волны БГК $N_e = 1$ с возмущением плотности $N_i = 2$ в случаях (2-1÷2-3) также, как и в случае ленгмюровской волны, наблюдается возбуждение ленгмюровских волн — гармоник волны БГК $N = N_e \pm \beta N_i$: для $\beta = 1$; $N = 3$ и $N = -1$ (знаком “−” обозначены обратные волны), для $\beta = 2$; $N = 5$ и $N = -3$ и т. д. Изменение во времени амплитуды волны БГК $E^I(t)$ и амплитуды гармоник конверсии $E^N(t)$ в $t/T_{oe} \sim 0 - 20$ практически не отличается от случаев 1-1÷1-3 с теми же \tilde{n}/n_0 , но $N_i = 3$ (рис. 4-6 в работе [1]), поэтому мы не приводим эти кривые. Их согласие можно видеть, сопоставляя табл. 1 в настоящей работе и табл. 1 в работе [1]. В этих таблицах приведены моменты

времени t^N/T_{oe} и величины E^N/E_0 для первого максимума и (или) минимума кривых $E^N(t)$ (включая $N = 1$), а также t^b/T_{oe} и $\Delta W_b/W_e^0$ для первого максимума и минимума кривых $\Delta W_b(t)$ ($\Delta W_b = -(W_b - W_b^0)$ — потери энергии b -электронов).

Таблица 1

Характерные величины и моменты времени для кривых $E^N(t)$ и $\Delta W_b(t)$. Случаи 2-1÷2-3.

$$|J_0|_{\min} = 0, t_{\min}^{(0)} = \frac{t}{T_{oe}} \pi \frac{\tilde{n}}{n_0} = 2,4; |J_1|_{\max} = 0,582, t_{\max}^{(1)} = 1,88; \\ |J_2|_{\max} = 0,486, t_{\max}^{(2)} = 3,0.$$

Случай	2-1	2-2	2-3
\tilde{n}/n_0	0,04	0,1	0,3
t_{\min}^I/T_{oe}	2	2	1,8
E_{\min}^I/E_0	0,98	0,95	0,82
t_{\max}^{III}/T_{oe}	3,8	3,5	1,8 (7,2)
E_{\max}^{III}/E_0	0,16	0,35	0,63 (1,05)
t_{\max}^{-I}/T_{oe}	4,0	3,5	2,4 (7,7)
E_{\max}^{-I}/E_0	0,16	0,38	0,62 (1,12)
t_{\min}^{III}/T_{oe}	7,5	8	3 (12)
t_{\min}^{-I}/T_{oe}	8,0	9	4 (15)
t_{\max}^V/T_{oe}	(18)	5	3 (5; 30)
E_{\max}^V/E_0	(0,06)	0,15	0,45 (0,46; 0,5)
t_{\max}^{-III}/T_{oe}	(20)	6	4 (9,5)
E_{\max}^{-III}/E_0	(0,06)	0,19	0,5 (0,72)
t_{\min}^V/T_{oe}	(45)	9,5 (16)	4 (12)
t_{\min}^{-III}/T_{oe}	(55)	10 (19)	5 (14)
t_{\max}^b/T_{oe}	5 (13)	4,5 (13)	4 (8,5)
$\Delta W_{\max}^b/W_e^0$	$1,2(2) \cdot 10^{-2}$	$6,5(8) \cdot 10^{-2}$	0,22 (0,61)
$\Delta W_{\max}^b/W_b^0$	$2,6(4,4) \cdot 10^{-3}$	$1,4(1,7) \cdot 10^{-2}$	0,05 (0,13)
t_{\min}^b/T_{oe}	7	7 (19)	(13,5)

$|J_\beta|_{\min, \max}, t_{\min, \max}^{(\beta)}$ — первый минимум или максимум модуля функции Бесселя порядка β ($\beta = 0, 1$ и 2) и момент времени, когда он достигается; $E_{\min, \max}^N, t_{\min, \max}^N$ — первый минимум или максимум амплитуды волны БГК ($N = 1$) и N -й гармоники $E^N(t)$ и момент времени, когда он достигается, в скобках E^N, t^N абсолютного минимума или максимума за $t/T_{oe} \sim 0 - 100$; $\Delta W_b \max, t_{\max, \min}^b$ — величина и момент достижения первого максимума или минимума потерь энергии b -электронов. Данные по кривым $E^N(t), \Delta W_b(t)$, усредненным по колебаниям с периодом $\lesssim T_{oe}$.

При конверсии ленгмюровской волны зависимость от времени амплитуды волны и гармоник конверсии описывается модулем функций Бесселя порядка $\beta - E_\beta^N/E_0 = |J_\beta\left(\pi \frac{\tilde{n}}{n_0} \frac{T}{T_{oe}}\right)|$ [4, 5]. Сравним $E^N(t)$ в случаях 2–1÷2–3 с кривыми $J_\beta(t)$ для ленгмюровской волны. На рис. 1 показана зависимость от времени модуля функции Бесселя нулевого порядка $|J_0|$ и амплитуда волны БГК E^I/E_0 , на рис. 2 — функция Бесселя первого порядка $|J_1|$ и амплитуда гармоники $N = N_e + N_i = 3$ ($\beta = 1$), на рис. 3 — функция Бесселя второго порядка $|J_2|$ и амплитуда гармоники $N = N_e + 2N_i = 5$ ($\beta = 2$). На каждом рисунке разными знаками показаны все случаи 2–1÷2–3.

Из рис. 2, 3 видно, что во всех случаях начальные участки кривых $E^N(t)$ практически совпадают с соответствующими функциями Бесселя. Совпадают с ними и начальные участки кривых $E^N(t)$ для гармоник $N = N_e - \beta N_i$ не показанные на рисунках. Таким образом, начальная стадия развития гармоник конверсии не отличается от случая ленгмюровской волны. Однако в дальнейшем различие становится существенным. В случаях 2–1, 2–2 при малых возмущениях плотности $\tilde{n}/n_0 \lesssim 0,1$ максимальные амплитуды E^N/E_0 значительно меньше максимальной величины J_1 или J_2 , а вид кривых отличается от $J_1(t)$, $J_2(t)$ (рис. 2, 3). В частности из рис. 2 видно, что в случаях 2–1, 2–2 $E^N(t)$ промодулировано во времени так же, как и в случаях 1–1, 1–2 [1]. Период модуляции T^N тот же, что в случаях 1–1, 1–2 и несколько различается для гармоник $N = N_e + N_i$ и $N = N_e - N_i$ ($T^N \sim t_{min}^N$ в табл. 1). Сравнение кривых $E^N(t)$ и $\Delta W_b(t)$ показывает, что колебания амплитуды $E^N(t)$ скоррелированы с изменением потерь энергии b -электронов подобно случаям 1–1, 1–2 (рис. 4, 5 в работе [1]). Это указывает на стабилизирующую роль захваченных в волну БГК электронов [1].

С увеличением начального возмущения плотности кривые $E^N/E_0(t)$ приближаются к $J_1(t)$, $J_2(t)$, а в случае 2–3 близки к ним вплоть до первого максимума $J_1(t)$, $J_2(t)$ (рис. 2, 3). В дальнейшем и в этом случае кривые $E^N/E_0(t)$ значительно отличаются от функций Бесселя.

Кардинально отличаются от функции Бесселя $J_0(t)$ кривые $E^I/E_0(t)$ (рис. 1). Из рис. 1 видно, что в случае 2–1 амплитуда волны БГК практически не меняется, а в случае 2–2 меняется незначительно. В случае 2–3 на начальной стадии $E^I/E_0(t)$ близка к $J_0(t)$, но минимальное значение $E^I(t)$ достигается раньше и имеет большую величину, чем $J_0(t)$.

Сравнение рис. 1 – 3 с рис. 7 – 9 в работе [1] подтверждает что, $E^I(t)$ и $E^N(t)$ в случаях с одинаковым начальным возмущением плотности 2–1÷2–3 и 1–1÷1–3 в работе [1] практически одинаковы и различа-

ются только в деталях.

Таким образом, изменение длины волны возмущения плотности при одинаковых начальных параметрах волны БГК практически не меняет характера развития конверсии. При малых $\tilde{n}/n_0 \lesssim 0,1$ амплитуда волны БГК практически не меняется, а амплитуда гармоник конверсии мала, при $\tilde{n}/n_0 \sim 0,3$ максимальные амплитуды гармоник E^N/E_0 на начальном участке сравнимы со случаем ленгмюровской волны, но амплитуда волны БГК меняется существенно меньше. Таким образом, стабилизирующая роль захваченных в волну БГК электронов проявляется и в случаях 2–1÷2–3.

В динамическом описании конверсия проявляется в модуляции волны и локализации энергии во впадинах плотности. Это видно из рис. 4, *a*, *b*, *c* где показано распределение поля $E(x)$ в несколько моментов времени в течение $\sim 0,6T_{oe} \sim T/2$ в t , где максимальна амплитуда гармоник конверсии с $\beta = 1$ для случаев с 2–1÷2–3. При малых \tilde{n}/n_0 модуляция невелика — $E(x)$ незначительно отличается от синусоиды (случай 2–1, рис. 4, *a*). С ростом \tilde{n}/n_0 в случаях 2–2, 2–3 модуляция растет (рис. 4, *b*, *c*).

В случаях 2–1 и 2–3 изучалось развитие волны БГК в плазме с возмущением плотности в течение длительного времени $\sim 100T_{oe}$. На рис. 6, *a* – *c* (случай 2–1) и рис. 7, *a* – *c* (случай 2–3) показаны кривые $E^N/E_0(t)$ для волны БГК (рис. 6, *a*, 7, *a*) и основных гармоник конверсии с $\beta = 1$, $N = 3$ и $N = -1$ (рис. 6, *a*, 7, *a*) и с $\beta = 2$, $N = 5$ и $N = -3$ (рис. 6, *b*, 7, *b*), а также потери энергии b -электронов $\Delta W_b(t)$, энергия поля W_E и энергия электронов плазмы $\Delta W_e = W_e - W_e^0$ (рис. 6, *b*, 7, *b*). Все кривые слажены по малым колебаниям с периодом $\lesssim T_{oe}$.

В случае 2–1 конверсия имеет периодический характер — энергия из гармоник с $\beta = 1$ перекачивается в гармоники с $\beta = 2$ и обратно, но в среднем сохраняется на примерно постоянном уровне. Действительно, из рис. 6, *a*, *b* видно, что в $t/T_{oe} \sim 20 - 30$ амплитуда гармоник с $\beta = 1$ минимальна, а гармоник с $\beta = 2$ максимальна, в $t/T_{oe} \sim 50 - 60$, наоборот, амплитуда гармоник с $\beta = 2$ минимальна, а гармоник с $\beta = 1$ — максимальна. Амплитуда гармоник в $t/T_{oe} > 10 - 20$ колеблется около некоторого среднего уровня, не наблюдается ни роста, ни затухания гармоник.

Амплитуда волны БГК в $t/T_{oe} > 10 - 20$ меняется незначительно (рис. 6, *a*). Также незначительно меняются W_E , ΔW_e и ΔW_b (рис. 6, *b*). Действительно, максимальное отклонение E^I от E_0 не превышает величины $(E^I - E_0)/E_0 \sim 5\%$, а максимальная величина $\Delta W_b/W_b^0 \sim 0,44\%$. Сохраняется также небольшая модуляция поля, что видно по распределению $E(x)$ в $t/T_{oe} \sim 3 - 4$ (рис. 4, *a*) и $t/T_{oe} \sim 85 - 86$ (рис. 4, *b*).

Мало меняется и распределение $n_b(x, v)$ b -электронов на фазовой плоскости (рис. 8).

Таким образом, волна БГК в неоднородной плазме с малым возмущением плотности остается квазистационарной, несмотря на возбуждение гармоник конверсии.

В работах [2, 3] показано, что в волне БГК даже в однородной плазме развивается стохастическая неустойчивость движения электронов. Причиной этой неустойчивости является взаимодействие волны БГК с ленг-мюровскими волнами-гармониками $N = 2; 3; \dots$, возбуждаемыми полем объемного заряда захваченных электронов. Стохастическая неустойчивость приводит к образованию стохастического слоя в районе сепаратрисы, что проявляется, в частности, в уширении распределения b -электронов $n_b(x, v)$ в районе узла сепаратрисы $x \sim x_0$ и в появлении ускоренных и замедленных b -электронов со скоростями $V > (V_{\phi o} + V_s)$ и $V < (V_{\phi o} - V_s)$, $V_s = 2\sqrt{\frac{e\varphi}{m}}$.

Уширение распределения $n_b(x, v)$ в районе $x \sim x_0$ и появление ускоренных и замедленных b -электронов наблюдается и в случае 2-1 (рис. 8, $t/T_{oe} \sim 10 - 100$). Это свидетельствует о стохастической неустойчивости движения b -электронов и формировании стохастического слоя. Внешние границы стохастического слоя в районе максимума $x \sim x_m$ и узла $x \sim x_0$ сепаратрисы можно оценить по максимальным и минимальным скоростям в $t/T_{oe} \sim 100$ в районе x_m и x_0 . Эти границы для случая 2-1 и случая 1 волны БГК в однородной плазме [1,2] приведены в табл. 2.

Таблица 2

	$x \sim x_m$		$x \sim x_0$	
	V_{\max}/V_T	V_{\min}/V_T	V_{\max}/V_T	V_{\min}/V_T
Случай 1[1, 2]	36,41	20,85	31,19	24,83
Случай 2-1	35,67	21,02	31,19	24,83

Сравнение случаев 2-1 и 1 показывает, что границы слоя на $x \sim x_m$ и $x \sim x_0$ практически не отличаются. Это показывает, что гармоники объемного заряда играют определяющую роль и в случае 2-1 в плазме с небольшим возмущением плотности $\tilde{n}/n_0 \sim 0,04$, а гармоники конверсии в этом случае дают малый вклад в стохастические эффекты.

Случай 2-3 заметно отличается от случая 2-1. Из рис.7,а – в видно, что в $t/T_{oe} \lesssim 10 - 15$ амплитуда волны БГК и амплитуды гармоник

конверсии (рис. 7,а, б) растут. В дальнейшем средняя амплитуда устанавливается на некотором почти постоянном уровне или немного падает (рис. 7,а, б). В это же время устанавливается средний уровень потерь энергии $\Delta W_b(t)$, энергии поля $W_E(t)$ и энергии электронов плазмы $\Delta W_e(t)$ (рис.7,в). Небольшой рост $\Delta W_e(t)$ и уменьшение $W_E(t)$ свидетельствуют о поглощении небольшой энергии электронами плазмы.

Понять происходящие процессы можно анализируя фазовые плоскости случая 2-3 (рис. 9). Из рис. 9 видно, что в $t/T_{oe} < 10 - 15$ происходит значительная перестройка распределения b -электронов, подобная наблюдавшейся в случае 1-3 в работе [1]. В работе [1] было показано, что первичной причиной перестройки $n_b(x, v)$ является уменьшение фазовой скорости волны БГК в неоднородной плазме с возмущением плотности при развитии конверсии. Из рис. 9 видно, что и в случае 2-3 в $t/T_{oe} \sim 3 - 6 - 8 - 10$ основная часть b -электронов в среднем замедляется, подстраиваясь к новой фазовой скорости и оставаясь захваченными волной БГК. При замедлении b -электроны теряют энергию, так что ΔW_b растет (рис. 7,в). При этом энергия передается в электрическое поле, так что растет амплитуда волны БГК E^I (рис. 7,а) и соответственно растут энергии W_E и ΔW_e (рис. 7,в). В результате роста E^I/E_0 растет скорость конверсии и амплитуда гармоник E^N (рис. 7,а, б). Это в свою очередь влияет на характер движения электронов на фазовой плоскости.

При уменьшении фазовой скорости некоторая часть b -электронов выходит из захвата со скоростями $V > (V_\phi + V_s)$. Эти электроны становятся пролетными и образуют "хвост" на фазовой плоскости (рис.9, $t/T_{oe} \sim 3 - 6$). С ростом амплитуды E^I часть этих электронов вновь захватывается, часть остается пролетными (рис.9, $t/T_{oe} \sim 8 - 10$). В дальнейшем эти электроны принимают участие в стохастической неустойчивости, которая приводит к размешиванию b -электронов на фазовой плоскости в районе сепаратрисы ($t/T_{oe} \sim 15 - 20 - 40 - 100$). Ширина стохастического слоя в этом случае заметно больше, чем в случае 1 [1, 2]. Действительно, из табл. 3 видно, что в $t/T_{oe} \sim 100$ внешние границы слоя в этих случаях значительно различаются.

Таблица 3

	$x \sim x_m$		$x \sim x_0$	
	V_{\max}/V_T	V_{\min}/V_T	V_{\max}/V_T	V_{\min}/V_T
Случай 1[1]	35,41	20,85	31,19	24,83
Случай 2-1	38,83	17,19	35,01	21,65

В результате рассмотренных процессов уже к $t/T_{oe} \sim 30 - 40$ устанавливается квазистационарная волна БГК с новыми параметрами — $V_\phi/V_T \sim 26,5$, $E_{cp}^I/E_0 \sim 1,3$. Амплитуда волны БГК в $t/T_{oe} > 30$ меняется относительно среднего уровня не более, чем на 10%. В это время устанавливается новое распределение b -электронов, которое в дальнейшем меняется незначительно (рис.9, $t/T_{oe} \sim 40 - 100$). Устанавливаются на примерно постоянном среднем уровне также $\Delta W_b(t)$, $W_E(t)$ и $\Delta W_e(t)$ (рис. 7, в).

У гармоник конверсии также устанавливается некоторый постоянный средний уровень, относительно которого амплитуды гармоник меняются в пределах $E^N/E_0 \sim 15 - 25\%$. В результате и распределение поля $E(x)$, которое в $t/T_{oe} < 10$ заметно менялось (рис. 4, г, 5, а), в $t/T_{oe} > 30$ становится стационарным (рис. 5, б – г).

Таким образом, даже при достаточно большом начальном возмущении плотности $\tilde{n}/n_0 \sim 0,3$ развитие конверсии не приводит к разрушению волны БГК. После начальной перестройки распределения b -электронов, связанной с изменением фазовой скорости и развитием конверсии, устанавливается квазистационарная волна БГК с новыми параметрами.

Следует отметить, что некоторую роль в случае 2–3 играет захват электронов плазмы коротковолновыми гармониками конверсии (рис.9, $t/T_{oe} \sim 40 - 100$). Это свидетельствует о начале развития сильной стохастической неустойчивости движения электронов в районе областей захвата этих гармоник [7]. Максимальная и минимальная скорость электронов плазмы в $t/T_{oe} \sim 100$ — $V_{\max}/V_T \sim 9,6 > V_\phi^V/V_T = 6,6$ но $< V_\phi^{III}/V_T = 10,7$; $V_{\min}/V_T = | - 6,4 | > | V_\phi^{-VII}/V_T | = | - 4,9 |$, но $< | V_\phi^{-V}/V_T | = | - 6,6 |$ показывают, что в сильной стохастической неустойчивости участвуют гармоники $N \geq 5$ и $N \geq | - 7 |$. Захват и ускорение электронов плазмы при сильной стохастической неустойчивости приводят к поглощению энергии поля и росту энергии электронов плазмы (рис. 7, в). Однако из рис. 7, в видно, что до $t/T_{oe} \sim 100$ этот эффект мал и практически не влияет на квазистационарный характер волны БГК с новыми параметрами.

ЛИТЕРАТУРА

1. Н.С. Бучельникова, Б.Н. Лазеев. "Конверсия волны БГК на возмущении плотности. I." Препринт ИЯФ СО РАН 94-48, 1994.
2. Н.С. Бучельникова, Б.Н. Лазеев. "Волна Бернштейна–Грина–Крускала I." Препринт ИЯФ СО РАН 93-97, 1993.
3. Н.С. Бучельникова, Б.Н. Лазеев. "Волна Бернштейна–Грина–Крускала II. Взаимодействие с ленгмюровской волной. Стохастические эффекты." Препринт ИЯФ СО РАН 93-98, 1993.
4. P.K. Kaw, A.T. Lin, J.M. Dawson. Phys. Fluids **16**, 1967, 1973.
5. N.S. Buchelnikova, E.P. Matochkin. Physica Scripta **24**, 566, 1981.
6. Н.С. Бучельникова, Е.П. Маточкин, Препринты ИЯФ СО АН СССР 80-192, 1980; ИЯФ 81-43, 1981; ИЯФ 81-88, 1981; ИЯФ 81-89, 1981; ИЯФ 82-53, 1982.
7. Н.С. Бучельникова, Е.П. Маточкин, Препринты ИЯФ СО АН СССР 84-149, 1984; ИЯФ 84-150, 1984. Взаимодействие электромагнитных излучений с плазмой с.221, Ташкент, 1985; Phys. Letters **112A**, 330, 1985.

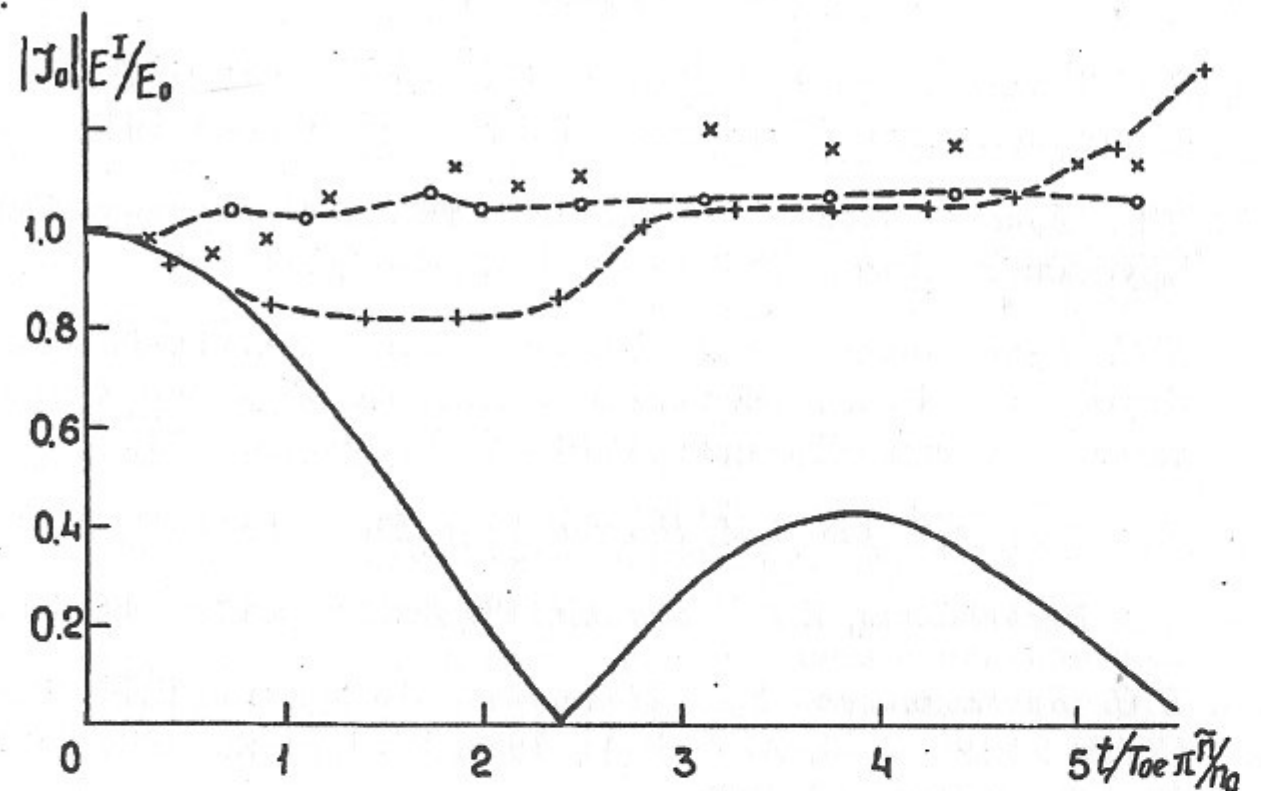


Рис. 1. Зависимость от времени модуля функции Бесселя нулевого порядка $|J_0|$ и амплитуды E^I/E_0 волны БГК. Случаи 2-1÷2-3.
Случай 2-1 — о; 2-2 — ×; 2-3 — +

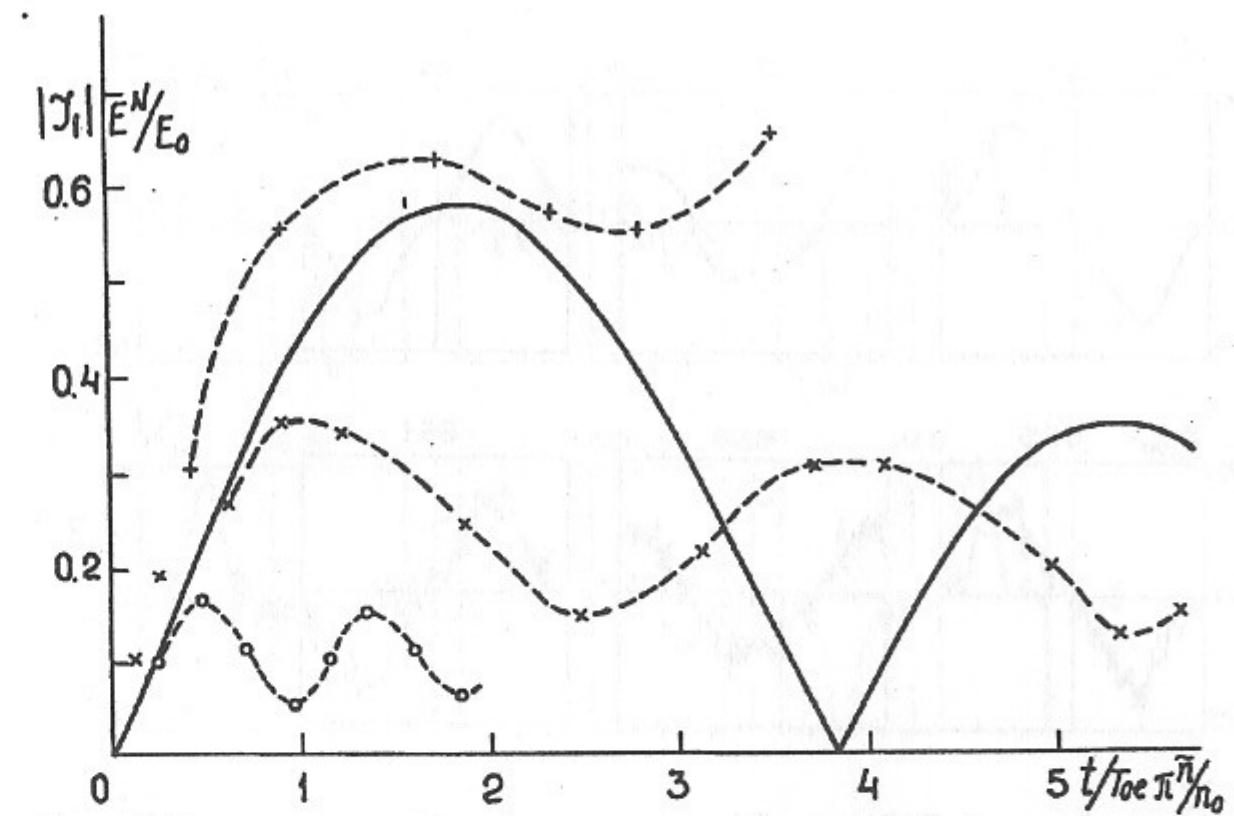


Рис. 2. Зависимость от времени модуля функции Бесселя первого порядка $|J_1|$ и амплитуды E^N/E_0 гармоники конверсии $N = N_e + N_i = 3$ ($\beta = 1$).
Случаи 2-1÷2-3. $J_{1,\max} = 0,582$.

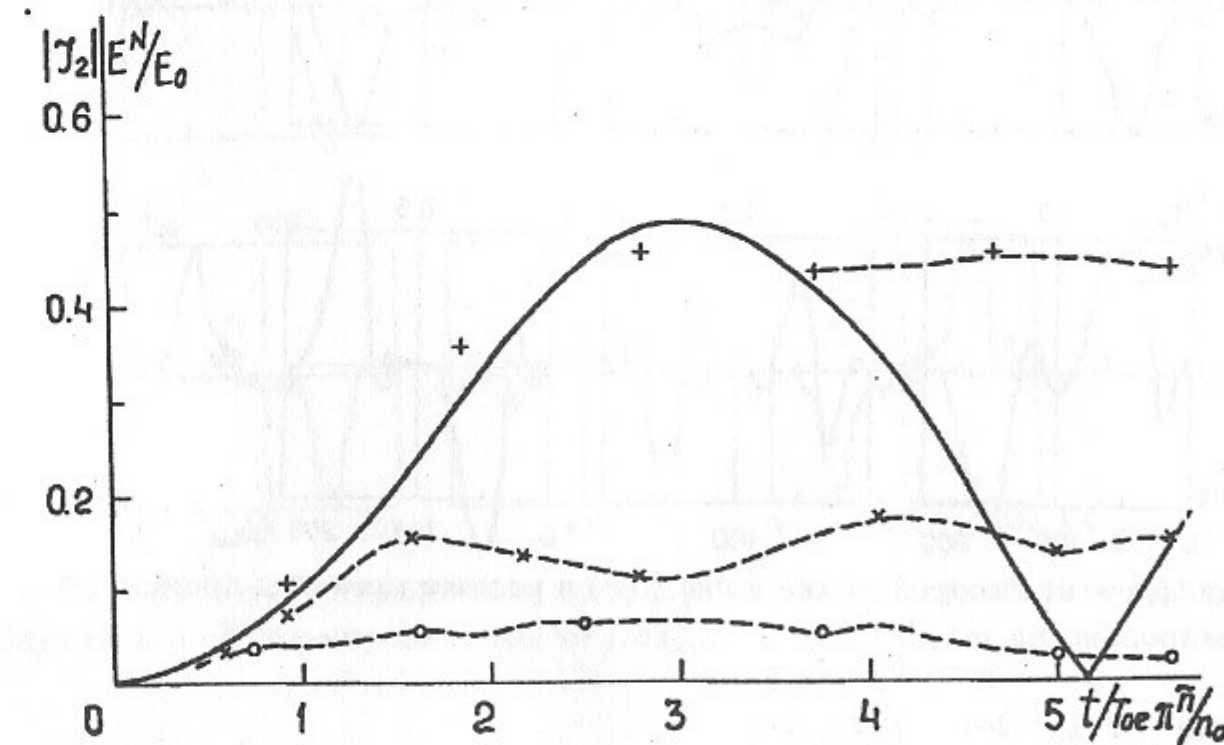


Рис. 3. Зависимость от времени модуля функции Бесселя второго порядка $|J_2|$ и амплитуды E^N/E_0 гармоники конверсии $N = N_e + 2N_i = 5$ ($\beta = 2$).
Случаи 2-1÷2-3. $J_{2,\max} = 0,486$.
Случай 2-1 — о; 2-2 — ×; 2-3 — +.

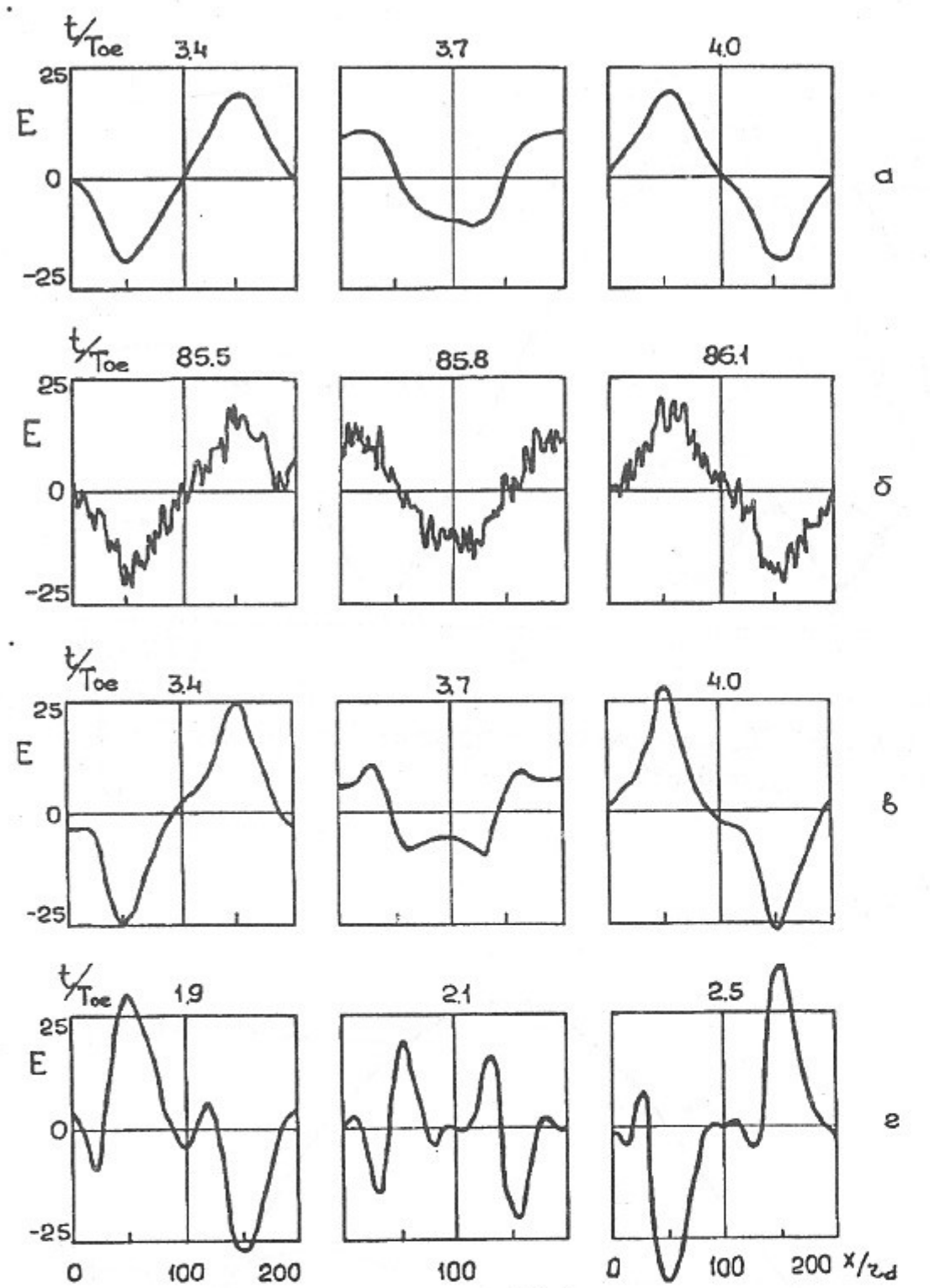


Рис. 4, а – г. Распределение поля $E(x)$ в разные моменты времени.
Е нормировано на mrd/eT_{oe}^2

Рис. а б в г
Случай 2-1 2-1 2-2 2-3

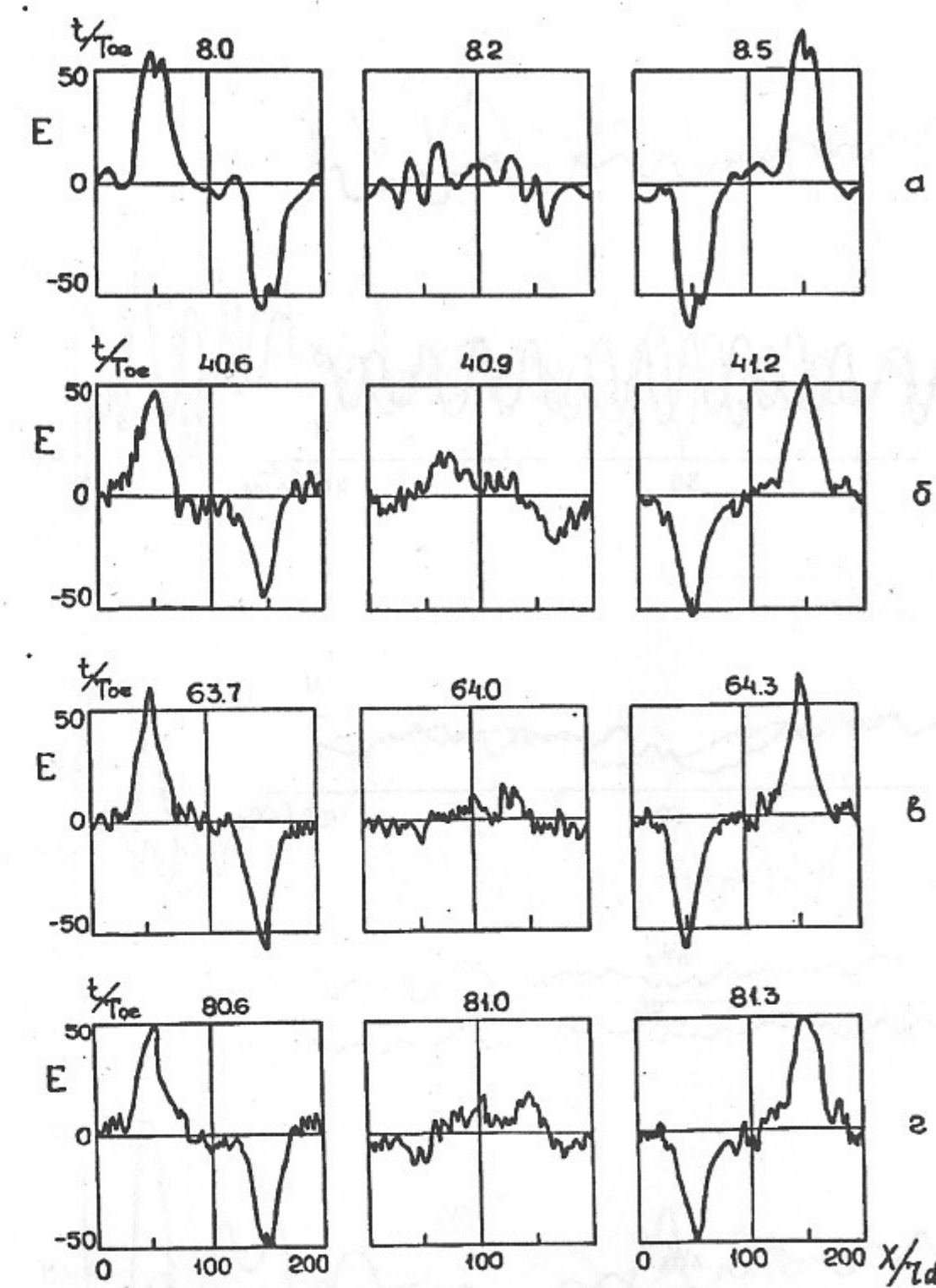


Рис. 5, а – е. Распределение поля $E(x)$ в разные моменты времени.
Случай 2-3. Е нормировано на mrd/eT_{oe}^2 .

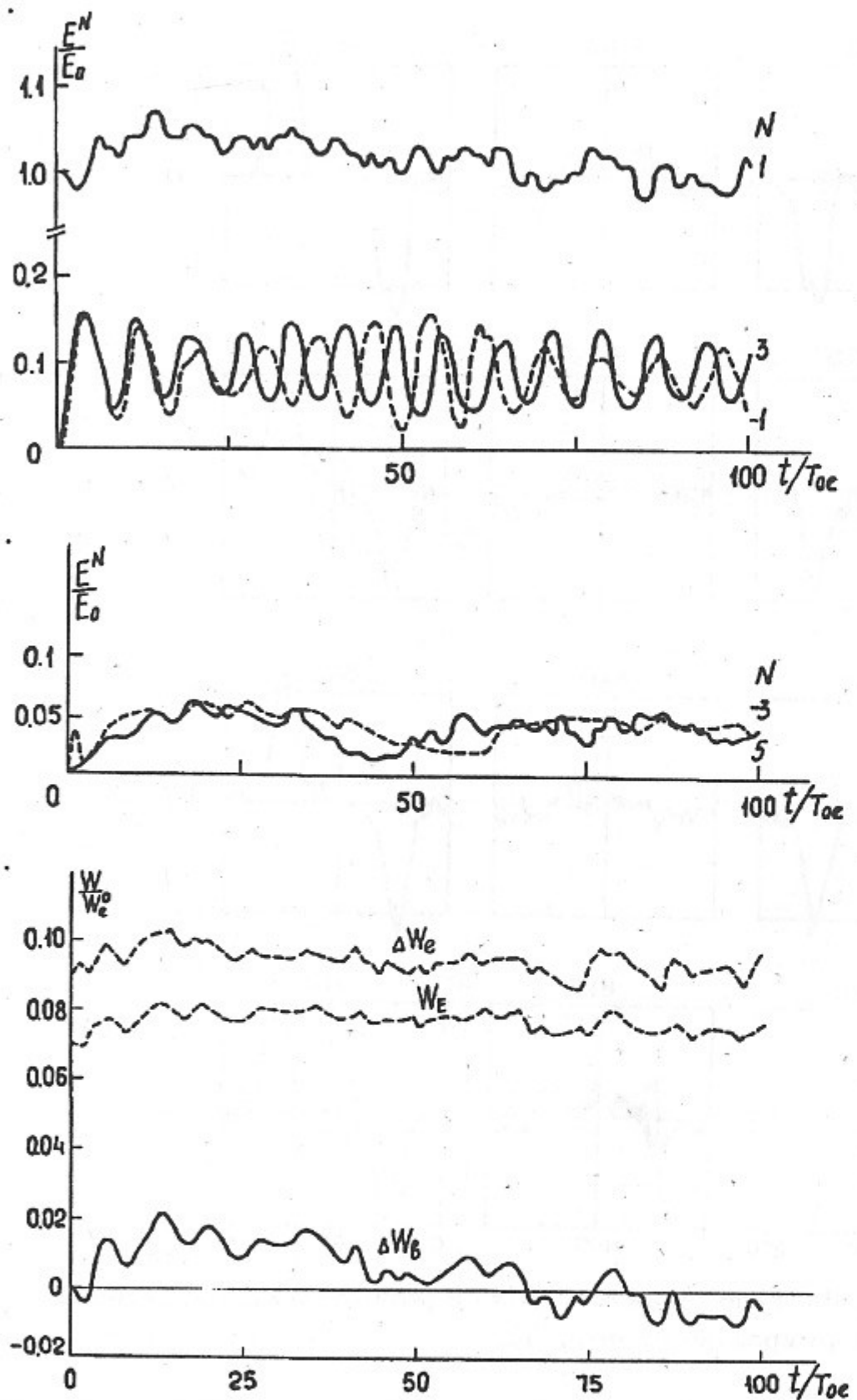


Рис. 6, а – в. Случай 2-1. Зависимость от времени амплитуды волны БГК E^I/E_0 и амплитуды гармоник конверсии E^N/E_0 $\beta = 1$, $N = 3$ и -1 (а), $\beta = 2$, $N = 5$ и -3 (б). Зависимость от времени потерь энергии b -электронов $\Delta W_b = -(W_b - W_b^0)$, энергии электрического поля W_E и энергии электронов плазмы $\Delta W_e = W_e - W_e^0$ (в).

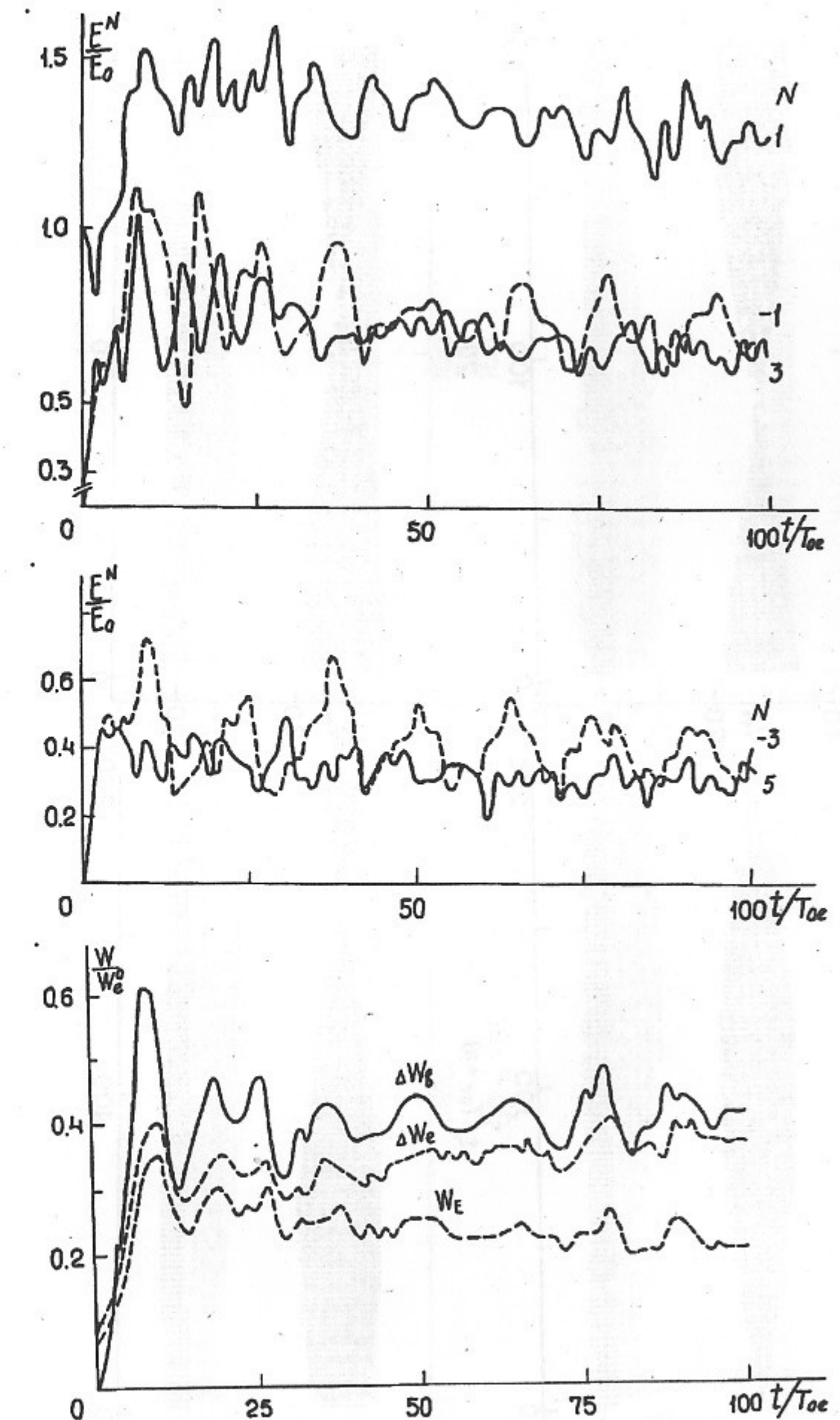
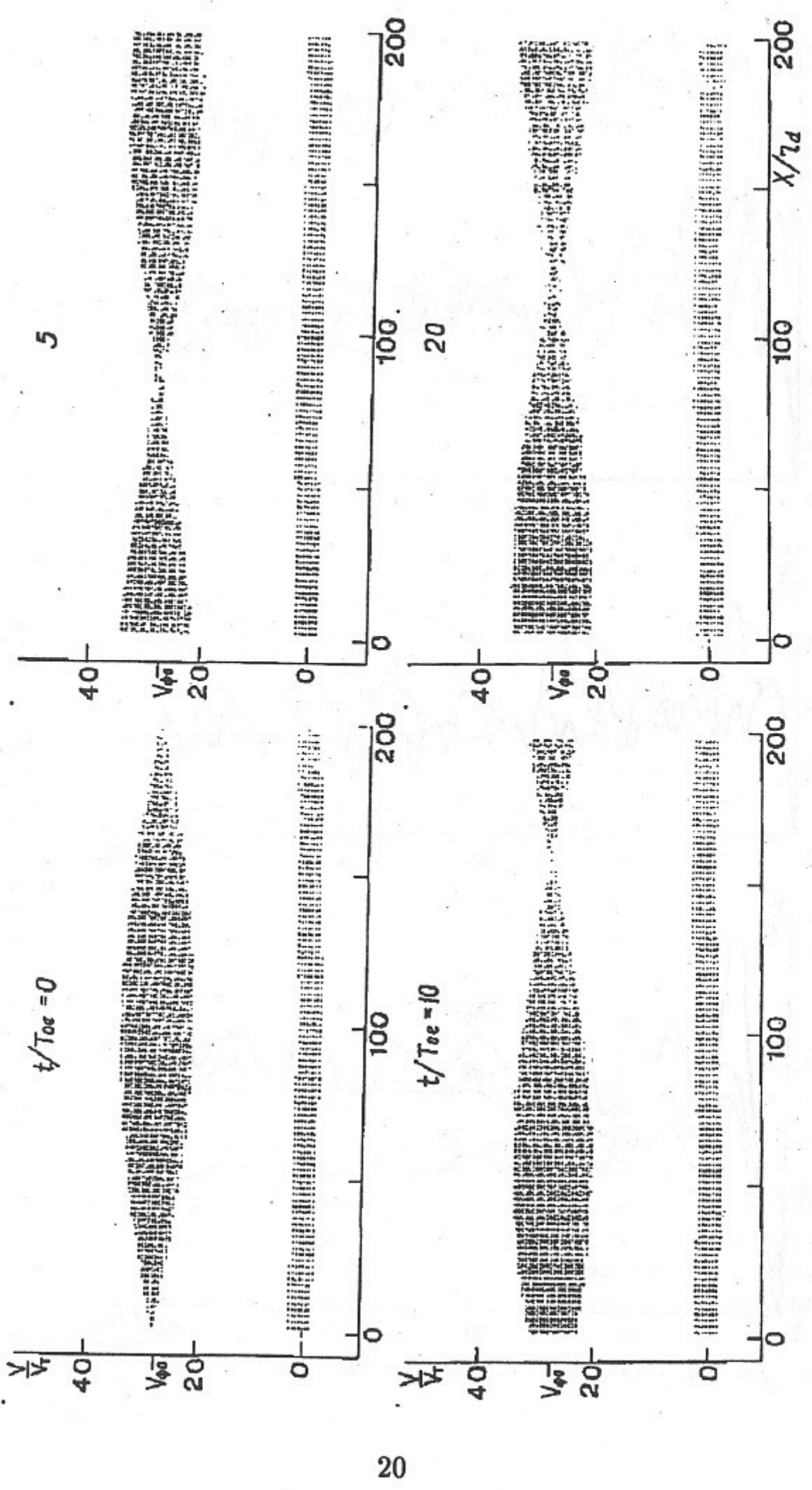
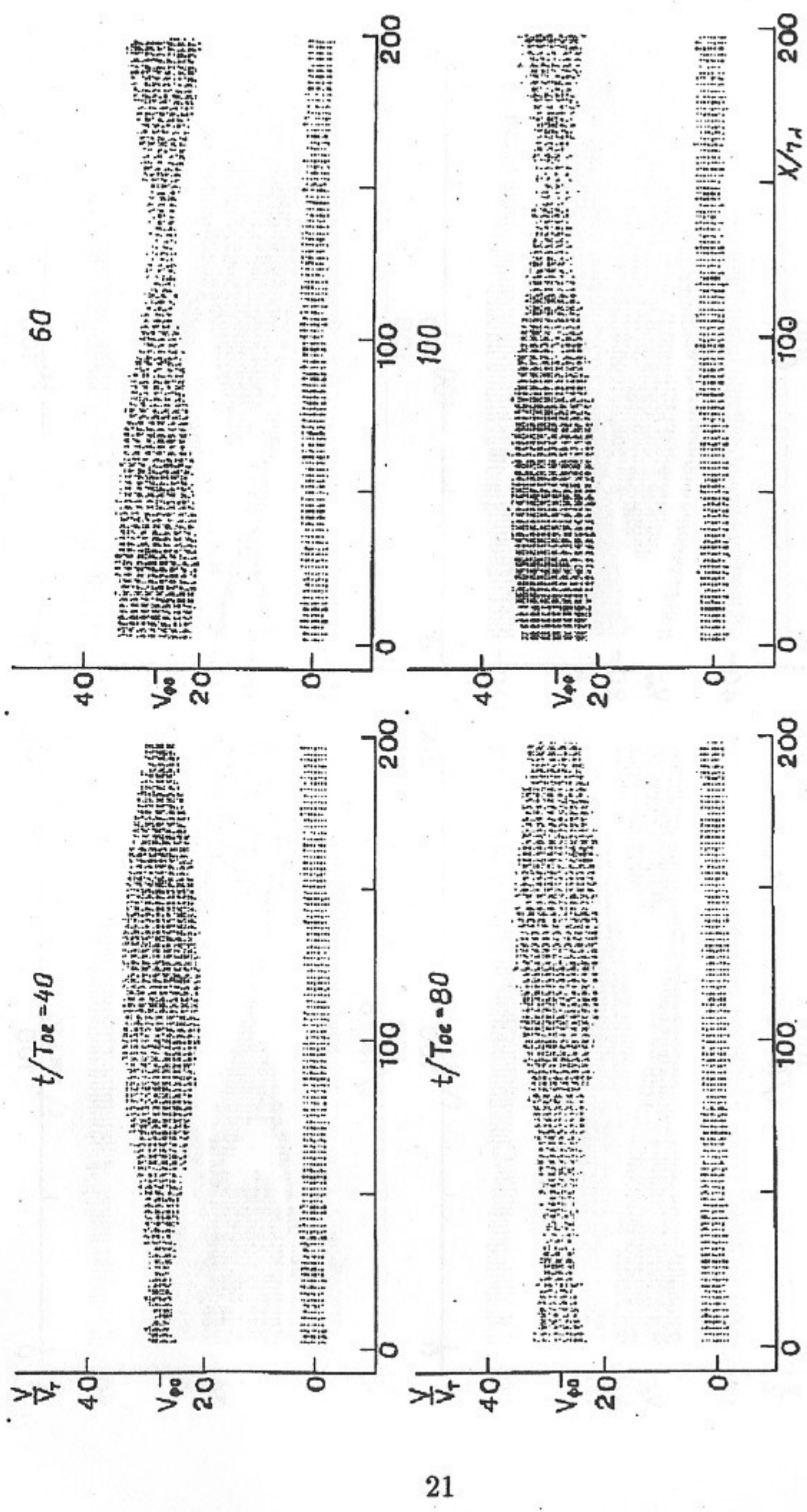


Рис. 7, а – в. Случай 2-3. То же, что рис. 6, а – в.



5

20

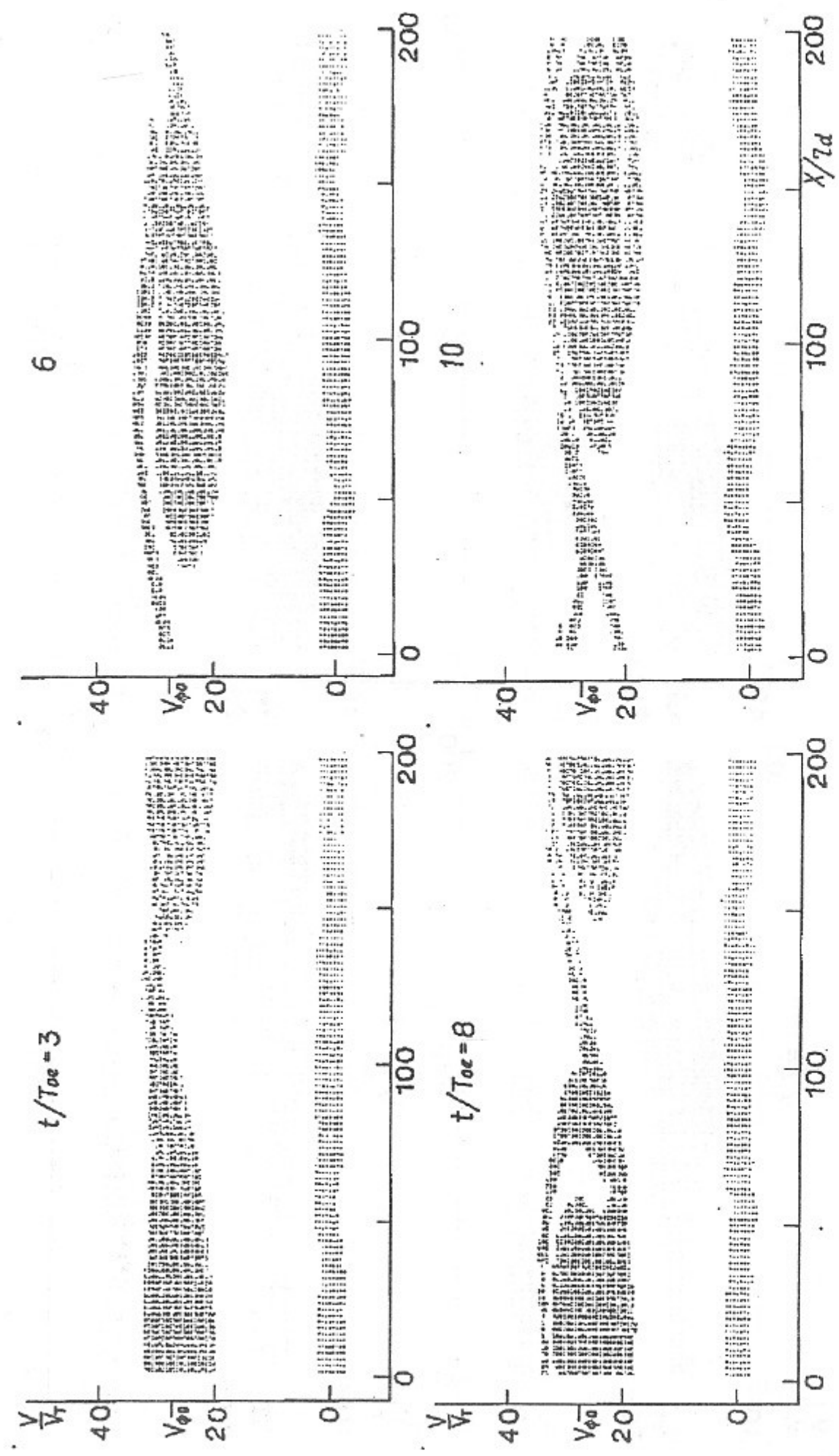


60

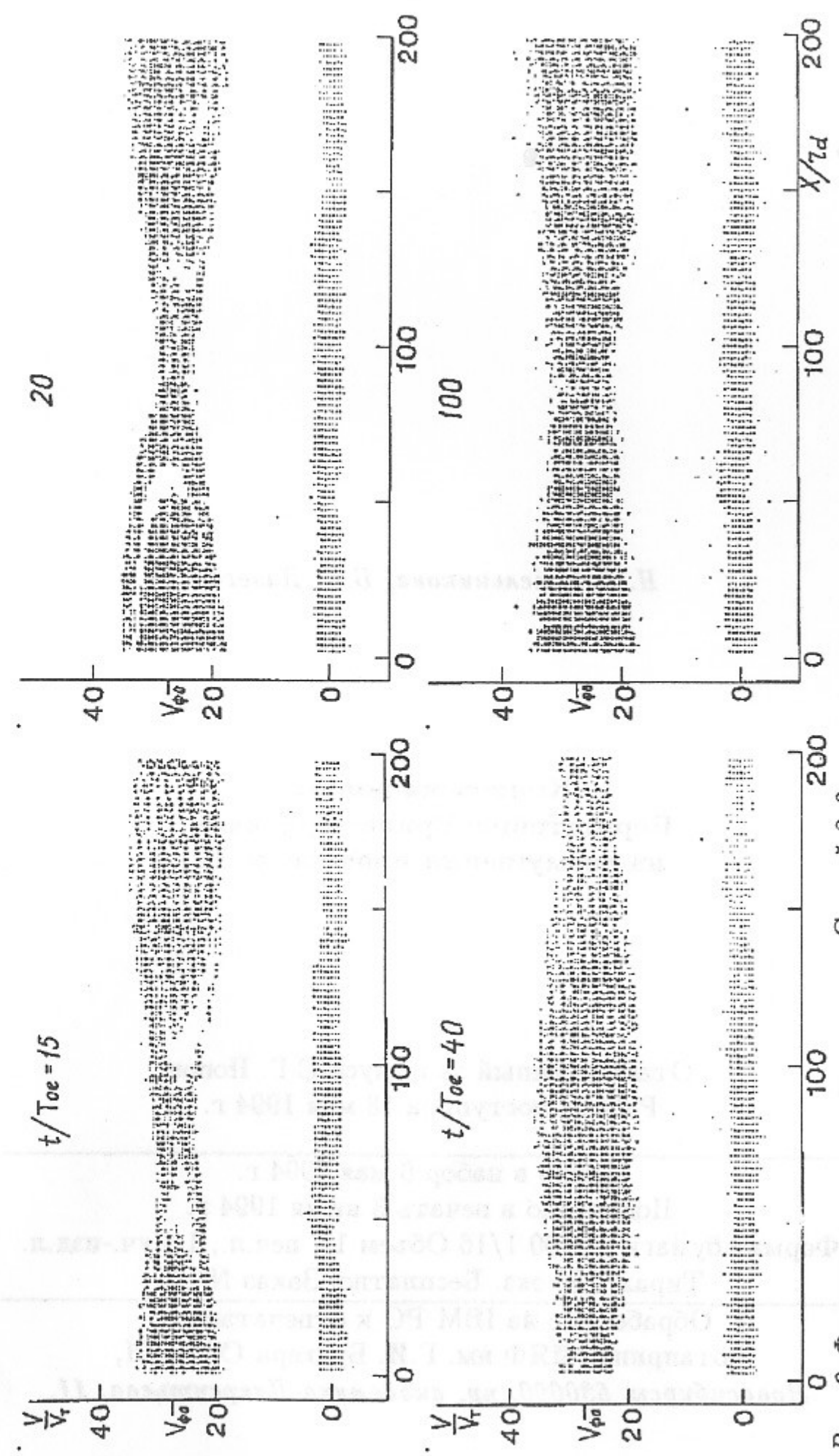
t/T_{de} = 40

21

Рис. 8. Фазовые плоскости электронов. Случай 2-1.



22



23

Рис. 9. Фазовые плоскости электронов. Случай 2-3.

Н.С. Бучельникова, Б.Н. Лазеев

**Конверсия волны
Бернштейна–Грина–Крускала
на возмущении плотности. II**

Ответственный за выпуск С.Г. Попов
Работа поступила 18 мая 1994 г.

Сдано в набор 6 мая 1994 г.

Подписано в печать 3 июня 1994 г.

Формат бумаги 60×90 1/16 Объем 1.7 печ.л., 1.4 уч.-изд.л.

Тираж 250 экз. Бесплатно. Заказ № 49

Обработано на IBM PC и отпечатано на
ротапринте ИЯФ им. Г.И. Будкера СО РАН,
Новосибирск, 630090, пр. академика Лаврентьева, 11.